

معکوس‌سازی یک‌بعدی داده‌های الکترومغناطیسی هوابرد با استفاده از روش اُکام برای به دست آوردن رسانایی لایه‌ها

*۱ فرزاد شیرزادی‌تبار^۱ و بهروز اسکوئی^۲

^۱ دانشجوی دکتری ژئوفیزیک، گروه فیزیک زمین، مؤسسه ژئوفیزیک دانشگاه تهران، ایران

^۲ استادیار، گروه فیزیک زمین، مؤسسه ژئوفیزیک دانشگاه تهران، ایران

(دریافت: ۸۸/۵/۲۶، پذیرش نهایی: ۸۹/۷/۲۱)

چکیده

داده‌های الکترومغناطیسی هوابرد در حوزه‌های زمان و بسامد برداشت می‌شوند. این داده‌ها در حوزه زمان، تغییرات زمانی میدان مغناطیسی ثانویه هستند اما در حوزه بسامد خود میدان مغناطیسی ثانویه است که اندازه‌گیری می‌شود. در اینجا داده‌های الکترومغناطیسی هوابرد حوزه بسامد با اعمال روش معکوس‌سازی اُکام (Occam's inversion) به مقادیری از رسانایی تبدیل می‌شوند که مربوط به لایه‌های افقی متفاوت هستند. در این بررسی تعداد لایه‌ها بسیار بیشتر از تعداد داده‌ها است. با انتخاب مناسب یک تابع هدف که باید کمینه شود، با استفاده از روش کمترین مربعات، طوری عمل می‌شود که هم پارامترهای مدل دارای کوچک‌ترین ساختار (minimum structure) باشند و هم داده‌ها به حد کافی برازش شوند. اعمال این روش بر داده‌های الکترومغناطیسی هوابرد حاصل از مدل‌های مصنوعی، نتایج قابل قبولی تولید می‌کند. سعی شده که از مدل‌های متنوعی برای بررسی چگونگی عملکرد این روش معکوس‌سازی استفاده شود که شامل مدل‌های ۳، ۲ و ۵ لایه است. همچنین نشان داده شده که این روش، لایه با رسانایی کمتر که در زیر لایه رسانا قرار گرفته را به خوبی تعیین می‌کند و این در حالی است که روش‌های الکترومغناطیسی به وجود لایه‌ها یا توده‌های رسانا حساس‌تر هستند. در مدل‌های مورد استفاده، با عوض کردن ترتیب رسانایی لایه‌ها، پایداری و قدرت روش معکوس‌سازی اُکام را در بازیابی رسانایی لایه‌ها نشان داده‌ایم. همچنین تأثیر تعداد بسامدهای مورد استفاده در مدل‌سازی روی نتایج بررسی شده است.

واژه‌های کلیدی: الکترومغناطیس هوابرد، دستگاه معادلات غیرخطی، ماتریس ژاکوبی، معکوس‌سازی اُکام

Recovering 1D conductivity from AEM data using Occam inversion

Shirzaditabar, F.¹ and Oskooi, B.²

¹ Ph. D. Student of Geophysics, Earth Physics Department, Institute of Geophysics, University of Tehran, Iran

² Assistant Professor, Earth Physics Department, Institute of Geophysics, University of Tehran, Iran

(Received: 17 Aug 2009, Accepted: 13 Oct 2010)

Abstract

Over the past three decades helicopter-borne electromagnetic (HEM) measurements have been used to reveal the resistivity distribution of the earth's subsurface for a variety of applications. HEM systems include a "bird" or sensor containing one or more pairs of transmitting and receiving coils. The separation between the rigidly mounted transmitting and receiving coils of a coil-pair typically lies between 4 and 8 m. Because the distance between transmitter and receiver coils in the bird is much smaller than the altitude of the bird (typically more than 30 m), we can use magnetic dipole approximation for the transmitter coil. This approximation allows the ease of primary and secondary magnetic field calculations. The EM bird is towed under the helicopter to minimize the helicopter effects. The modern HEM systems use multi-frequency devices operating at 4–6

frequencies ranging from 200 Hz to 200 kHz. The receiving coil measures the voltage induced by the primary field from the transmitting coil and by the secondary field from the earth. As the secondary field is very small compared to the primary field, the primary field is generally bucked out and the ratio between the secondary and primary fields is presented in ppm. If there are good electrical conductors below the measuring line there will be electrical currents induced and give rise to a phase shift between the primary and secondary field. This means that the measured data is a complex quantity having in-phase and quadrature components.

There are two classes of interpretation tools to apply to HEM data that provide information for use to better understand geological structures and processes. These are either direct transformation of data into a generalized half-space model at certain data frequencies, or inversion of multi-frequency data sets to prepare a layered (1-D) resistivity model of the earth. Transform methods have the advantage of yielding a single solution for the given output parameter, and the disadvantage that the output parameters may provide a poorly resolved image of the geology. On the other hand, inversion methods have the advantage of yielding a much better resolution for the given output parameter and the disadvantage that these methods are slower compared to transform methods. Inversion methods for the interpretation of HEM data for a layered earth are being employed more commonly for helicopter-borne surveys as the data quality is improved and as both the number of frequencies and computer speed are increased. A considerable number of papers exist on the inversion methods used to model the resistivity of a layered earth. These algorithms are useful in conditions where resistivity is locally uniform in the horizontal direction over distances comparable to the footprint of the transmitter. However, if the scale length of the structural variation is small, then differences between the 1-D and 3-D responses will be a problem for the 1-D inversion. The violation of the 1-D assumption may make the recovered models unreliable for interpretation in particular areas of the survey. However, due to the limited extent of the HEM footprint which is less than 200 m in general, one-dimensional inversion of HEM data is often sufficient to explain the data in areas where the subsurface resistivity distribution varies relatively slowly in a lateral direction.

Here, we use simultaneously a number of frequencies in the transmitter. So it is convenient to use “EM sounding” in this work because each of these magnetic fields can penetrate to the associated depths of the ground.

The inversion of EM sounding data does not yield a unique solution but a single model to interpret the observation is sought. Here we use Occam’s inversion which yields a model as simple as possible. To obtain such models, the nonlinear forward problem is linearized about a starting model in the usual way, but it is solved explicitly for the desired model rather than for a model correction. To obtain the best solution, we make an objective function which is composed of the norm of model as well as the norm of data differences, and then we minimize this objective function.

Applying the Occam’s inversion on synthetic data, created over some 1D models with multiple sequences of resistive and conductive layers, shows that this method works well and the predicted models can be good approximations of synthetic models. The quality of results depends on the number of frequencies used. The more frequencies used, the better the results. Besides, as the value of frequencies increase, the penetrations of EM waves decrease and vice versa. So, removing a frequency of low value can affect the results in the higher depths, as is shown in the last two figures.

Besides, the method does not need a priori information about subsurface structure. All the results are obtained without a primary model. This shows that the method is stable to recover conductivities. On the other hand, results reveal that the method can detect a

resistive layer beneath the conductive one whilst the EM methods are more sensitive to conductors than resistors.

Key words: Airborne electromagnetic, Nonlinear forward problem, Jacobian matrix, Occam's inversion.

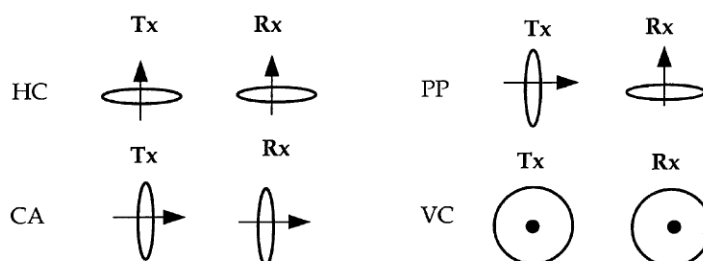
۱ مقدمه

اعمال و یا در دسترس باشد، داده‌های به دست آمده از پیکربندی‌های متفاوت از پیچه‌ها می‌توانند اطلاعات کامل‌تری در مورد رسانش لایه‌های زیرسطحی به دست دهنند.

روش‌های متفاوتی برای تفسیر داده‌های الکترومغناطیسی حوزه بسامد وجود دارند که برای به دست آوردن تصاویری از توزیع پارامترهای زمین‌شناسی به کار برده می‌شوند. این روش‌ها به‌طور کلی در دو دسته قرار می‌گیرند: ۱- تبدیل مستقیم داده‌ها برای یک مدل کلی مثل یک نیم‌فضا و ۲- معکوس‌سازی داده‌ها برای یک مدل به‌خصوص مثل زمین‌لایه‌ای. مزیت روش‌های تبدیل مستقیم این است که برای یک ورودی داده شده، جوابی یکتا و غیرقابل تغییر به دست می‌دهند. اما عیب آنها این است که تصویری ضعیف از زمین‌شناسی تولید می‌کنند (فریزر، ۱۹۷۸ و هوانگ و فریزر، ۲۰۰۱). اما روش‌های معکوس‌سازی تکراری هرچند به کندی صورت می‌گیرند اما تصاویر و مقاطعی به دست می‌دهند که دارای تفکیک بسیار زیادی است (فارکوارسون و همکاران، ۲۰۰۳).

در بررسی‌های الکترومغناطیسی هواپرد حوزه بسامد، داده‌ها را می‌توان به صورت‌های گوناگونی برداشت کرد. معمول‌ترین نوع پیکربندی دستگاه‌های موردنظر شامل دستگاه‌های هم‌صفحه افقی (HC)، هم‌صفحه عمودی (VC)، هم‌محور (CA) و عمود بر هم (PP) هستند، که این نوع پیکربندی در شکل ۱ نشان داده شده است. پیچه‌های گیرنده و فرستنده را معمولاً در دستگاهی به نام پرنده (bird) قرار می‌دهند و با بالگرد حمل می‌کنند. در این نوع از دستگاه‌ها معمولاً فاصله بین پیچه‌های گیرنده و فرستنده در مقایسه با شعاع این پیچه‌ها آنقدر بزرگ‌گشت که بتوان فرستنده را به صورت یک دوقطبی مغناطیسی افقی یا عمودی فرض کرد که در این صورت، هم ظاهر معادلات به صورت ساده‌تری در می‌آید و هم فرض ما از واقعیت فاصله زیادی نگرفته است.

وجود جهت‌گیری‌های متفاوت در فرستنده، باعث می‌شود که زمین به صورت‌های متفاوتی مورد کاوش قرار گیرد. این در حالی است که گیرنده ما هم در جهت‌های متفاوت مؤلفه‌های متفاوتی از پاسخ زمین را اندازه‌گیری می‌کند. بنابراین وقتی فقط تعداد محدودی بسامد قابل



شکل ۱. چهار نوع پیکربندی مورد استفاده در برداشت‌های الکترومغناطیسی هواپرد: هم‌صفحه افقی (HC)، هم‌محور (PP)، هم‌صفحه قائم (VC) و T_x و R_x به ترتیب فرستنده و گیرنده هستند.

مناسبی ساختار رسانایی زمین را معرفی کند. ضخامت هر لایه ثابت است ولی به این دلیل که کیفیت داده‌های الکترو-مغناطیسی در عمق افت پیدا می‌کند، با افزایش عمق افزایش می‌یابد. ضخامت لایه‌ها نسبت به عمق هم نباید خیلی کم انتخاب شود چون در آن صورت مقادیر داده‌های کوچک باعث ناپایداری در مدل‌سازی خواهد شد.

۲ مدل‌سازی پیشرو

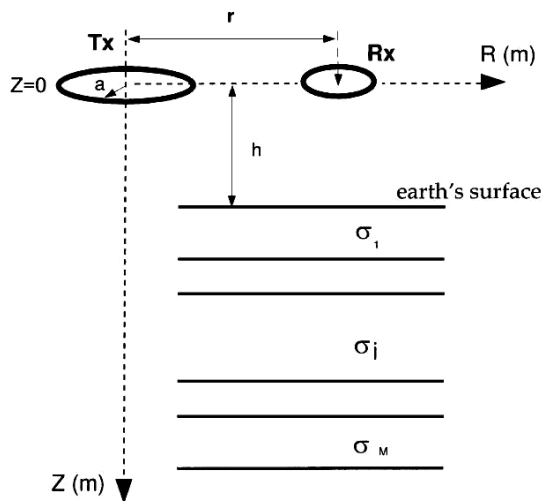
مسئله پیشرو در دستگاه هم‌صفحه افقی، نیازمند محاسبه میدان مغناطیسی حاصل از یک دوقطبی مغناطیسی قائم است. پاسخ یک فرستنده پیچه‌ای با انتگرال‌گیری عددی از پاسخ مربوط به دوقطبی‌های قرار گرفته روی پیچه به دست می‌آید. اما در اکتشاف‌های ژئوفیزیکی، میزان جدایی پیچه‌ها عموماً بیشتر از شعاع پیچه‌های فرستنده است و بنابراین می‌توان و بهتر است که چشمه‌های به شکل پیچه را به صورت دوقطبی در نظر بگیریم.

نخستین بار ویت (Wait) در ۱۹۵۱ و بعد از آن فریشنشت (Frischknecht) و همچنین وارد (Ward) در ۱۹۶۷ روابطی را برای میدان‌های مغناطیسی اولیه و ثانویه حاصل از یک پیچه افقی روی یک زمین لایه‌ای عرضه کرده‌اند. فرض کنید دستگاه گیرنده و فرستنده مطابق شکل ۲ در ارتفاع h روی یک زمین لایه‌ای قرار دارد. هریک از لایه‌ها دارای رسانایی σ و ضخامت ثابت h هستند. در اینجا فرض می‌شود که گذردهی الکتریکی و نفوذپذیری مغناطیسی ثابت و برابر با مقادیر آنها در خلا باشند ($\sigma = \mu = \sigma_0$). دوقطبی فرستنده با جریان I مناسب با $e^{i\omega t}$ که در پیچه فرستنده جاری می‌شود ایجاد و داده‌ها در فاصله شعاعی r از آن اندازه‌گیری می‌شود. مقدار I در برداشت‌های هوابرد بین ۶ تا ۸ متر است.

روش مورد استفاده در اینجا روش مسئله معکوس (inverse problem) است که در آن طوری عمل می‌شود که داده‌ها و پارامترهای مدل به طور هم‌زمان به بهینه مقدار خود می‌رسند، یعنی داده‌های به دست آمده از مدل محاسبه شده بهترین برازش را با داده‌های اصلی داشته باشند، در حالی که پارامترهای مدل از حد معمول خود خارج نشوند.

معکوس‌سازی داده‌های الکترو-مغناطیسی یک‌بعدی از گذشته تا به حال صورت گرفته است. بیشتر این تحقیقات روی معکوس‌سازی داده‌های دستگاه هم‌صفحه افقی (HC) صورت گرفته است که از بین آنها گلن و همکاران در (۱۹۷۳) براساس برازش داده‌ها و فولاگار و الدنبرگ (۱۹۸۴) براساس کمینه شدن نرم مدل این کار را عملی ساخته‌اند. از آن به بعد تلاش برای به دست آوردن مدل‌های بهتر از سوی افراد متفاوتی صورت گرفته است. ژانگ و همکاران (۲۰۰۰)، رسانایی لایه‌ها را از روش گاؤس-نیوتون به دست آورده‌اند. فارکوارسون و همکاران هم (۲۰۰۳) برای به دست آوردن هم‌زمان رسانایی و مغناطیس پذیری لایه‌ها از داده‌های هوابرد از روش‌های معکوس‌سازی استفاده کرده‌اند. همچنین هوانگ و فریزر (۲۰۰۳) نیز معکوس‌سازی داده‌های الکترو-مغناطیسی هوابرد را برای به دست آوردن هم‌زمان رسانایی، مغناطیس پذیری و ضخامت لایه‌ها فقط براساس برازش داده‌ها و برای یک مدل زمین سه لایه عملی کرده‌اند.

هدف اصلی این مقاله اعمال الگوریتم معکوس‌سازی اکام (Occam's inversion) بر داده‌های الکترو-مغناطیسی هوابرد است که به صورت مصنوعی از پیکربندی هم‌صفحه افقی روی زمین لایه‌ای یک‌بعدی محاسبه شده‌اند. تعداد لایه‌هایی که برای معکوس‌سازی انتخاب می‌کنیم باید به اندازه کافی زیاد باشد که به صورت



شکل ۲. هندسه دستگاه هم صفحه افقی. یک پیچه فرستنده (T_x) با شعاع a در روى سطح یک زمين یک بعدی قرار گرفته است. گيرنده (R_x) در فاصله شعاعی r از فرستنده قرار دارد. زمين به صورت M لایه مدل شده که رسانایی در لایه λ برابر σ است (زانگ و همکاران، ۲۰۰۰).

عدد موج لایه λ تحت تقریب شبیه ایستا

$$\gamma_i^2 = j\omega\sigma_i\mu_i$$

رسانایی ظاهری کلی روی لایه λ

$$Y_i = N_i \frac{Y_{i+1} + N_i \tanh(u_i h_i)}{N_i + Y_{i+1} \tanh(u_i h_i)}$$

$$Y_M = N_M$$

در لایه λ

(۳)

ممان مغناطیسی $m = I(\pi a^2)$ نوع J_0 تابع بسل نوع اول مرتبه صفر است. معمول است که داده های اندازه گیری شده یا محاسبه شده را به صورت نسبت میدان ثانویه به میدان اولیه و به صورت قسمت در میلیون (ppm) بیان کنند. بنابراین ما باید مدل پیشرو خود را به صورت

$$\frac{H_s}{H_p} \text{ در آوریم:}$$

$$\frac{H_z}{H_z^s} = -r^3 \int_0^\infty R_0(\lambda) e^{-\lambda(2h)} J_0(\lambda r) \lambda^2 d\lambda \quad (4)$$

۳ مسئله معکوس (inverse problem)

هدف اصلی مسئله معکوس، حل یک دستگاه معادلات است که تعداد معلومات یا معادلات آن می تواند بیشتر یا

در این شرایط، در یک زمین لایه ای، مؤلفه های عمودی میدان های مغناطیسی اولیه و ثانویه برای یک دستگاه هم صفحه افقی به صورت زیرنند (ویت، ۱۹۸۲):

$$H_z^p = -\frac{m}{4\pi r^3} \quad (1)$$

$$H_z^s = \frac{m}{4\pi} \int_0^\infty R_0(\lambda) e^{-\lambda(2h)} J_0(\lambda r) \lambda^2 d\lambda \quad (2)$$

که در اینجا:

ضریب بازگشت موج الکترومغناطیسی از یک زمین لایه ای

$$R_0(\lambda) = \frac{N_0 - Y_1}{N_0 + Y_1}$$

رسانایی ظاهری (admittance) ذاتی برای لایه λ

$$N_i = \frac{u_i}{j\omega\mu_i}$$

رسانایی ظاهری ذاتی برای هوای آزاد

$$N_0 = \frac{u_0}{j\omega\mu_0} = \frac{\lambda}{j\omega\mu_0}$$

$$u_i = (\lambda^2 + \gamma_i^2)^{1/2}$$

ثابت پراکندگی برای لایه λ

که N تعداد داده‌ها و M تعداد پارامترهای مدل و T نشانه ترانهاده است. ارتباط تابعی بین پارامترهای مدل و داده‌ها به صورت زیر نوشته می‌شود:

$$d_i = F_i(\mathbf{m}) \quad i = 1, 2, \dots, N \quad (7)$$

که در اینجا F یک عملگر غیرخطی است که با اعمال آن بر \mathbf{m} داده‌ها به دست می‌آیند. در اینجا هدف اصلی ما در روش معکوس‌سازی، به دست آوردن مدلی است که از نظر ظرفی‌بودی قابل تفسیر باشد و بتواند مشاهدات را به طور مناسبی بازسازی کند. این امر با کمینه کردنتابع هدف مدل صورت می‌گیرد در حالی که داده‌ها هم به طور مناسبی برآراش شوند (کانستبل و همکاران، ۱۹۸۷ و اُلدنبرگ، ۱۹۹۴). بنابراین مسئله معکوس را می‌توان به صورت زیر بیان کرد:

$$\begin{aligned} \min \quad & \varphi_m = \|L\mathbf{m}\|^2 \\ \text{subject to} \quad & \varphi_d = \|\mathbf{d}^{obs} - \mathbf{F}(\mathbf{m})\|^2 \end{aligned} \quad (8)$$

که علامت $\|\cdot\|$ بیانگر اندازه L ماتریس وزنی $M \times M$ مدل (فارکوارسون و اُلدنبرگ، ۱۹۹۳) و \mathbf{d}^{obs} هم بردار داده‌های مشاهده شده با طول N هستند. در حقیقت ما باید تابع هدف زیر را کمینه کنیم:

$$\Phi = \|\mathbf{d}^{obs} - \mathbf{F}(\mathbf{m})\|^2 + \beta^2 \|L\mathbf{m}\|^2 \quad (9)$$

که در اینجا β^2 ضریب لاغرانژ است که تعادلی میان کمینه شدن پارامترهای مدل و اختلاف داده‌های مشاهده شده و به دست آمده برقرار می‌کند. این تابع هدف زمانی کمینه می‌شود که مشتق آن نسبت به پارامترهای مجھول

صفر باشد؛ یعنی $\frac{\partial \Phi}{\partial \mathbf{m}} = 0$. برای مسائل EM هوابرد یا بالگردی، تابع $\mathbf{F}(\mathbf{m})$ کاملاً غیرخطی است. برای اینکه مسئله را به طور موضعی خطی کیم، (\mathbf{m}) را حول یک بردار پارامتر مدل \mathbf{m}^k معلوم، بسط تیلور می‌دهیم و فقط مشتق مرتبه اول را نگه می‌داریم و مرتبه‌های دوم و

کمتر از تعداد مجھولات و یا برابر با آن باشد. از طرفی عملگری که بر مجھولات عمل می‌کند که معلومات را بسازد می‌تواند یک عملگر ضمنی (implicit) یا منفصل (explicit) باشد. اگر عملگر منفصل باشد می‌شود آن را از مجھولات جدا کرد و به صورت یک ماتریس جداگانه نشان داد. به چنین دستگاه معادلاتی که با عملگر منفصل ساخته شده باشد دستگاه معادلات خطی گفته می‌شود. اگر عملگر ما ضمنی باشد آن گاه امکان جدا کردن آن از مجھولات وجود ندارد و چنین عملگری را غیرخطی می‌نامند. برای حل چنین دستگاه معادلات غیرخطی می‌توان آن را به طور موضعی به صورت خطی درآورد. در اینجا از روش معکوس‌سازی اُکام (Occam's inversion) برای حل مسئله معکوس غیرخطی استفاده می‌شود. یک تابع هدف باید طوری کمینه شود که داده‌ها را در منطق کمترین مربعات برآراش کند. معکوس‌سازی اُکام، یک الگوریتم معروف برای مسائل غیرخطی است که کانستبل و همکاران (۱۹۸۷) معرفی کردند. این نام به اُکام، فیلسوف قرن چهاردهم برمی‌گردد که بیان کرد که توضیحات ساده‌تر باید همیشه به توضیحات پیچیده‌تر ترجیح داده شوند. انجام الگوریتم اُکام بسیار راحت است و فقط به مدل پیشرو غیرخطی ($\mathbf{F}(\mathbf{m})$ و ماتریس ژاکوبی (Jacobian) آن نیاز دارد و در عمل به خوبی کار می‌کند. ایده اساسی معکوس‌سازی غیرخطی اُکام، استفاده تکراری از خطی‌سازی موضعی است. در زیر چگونگی عملیات معکوس‌سازی اُکام شرح داده می‌شود.

بردار داده‌های \mathbf{d} به صورت مجموعه‌ای از داده‌های اندازه‌گیری شده تعریف می‌شود:

$$\mathbf{d} = [d_1 \ d_2 \ \dots \ d_N]^T \quad (5)$$

و بردار پارامترهای مدل \mathbf{m} هم به صورت مجموعه‌ای از پارامترهای مجھول تعریف می‌شود:

$$\mathbf{m} = [m_1 \ m_2 \ \dots \ m_M]^T \quad (6)$$

$$\Phi_{k+1} = \left\| \hat{\mathbf{d}}(\mathbf{m}^k) - J(\mathbf{m}^k) \mathbf{m}^{k+1} \right\|^2 + \beta^2 \left\| L \mathbf{m}^{k+1} \right\|^2 \quad (14)$$

بنابراین چون \mathbf{m}^k دانسته فرض شده، کمینه شدن Φ_{k+1} فقط به \mathbf{m}^{k+1} وابسته است. اگر از Φ_{k+1} نسبت به \mathbf{m}^{k+1} مشتق گرفته و مساوی صفر قرار دهیم به نتیجه زیر برای \mathbf{m}^{k+1} می رسمیم:

$$\mathbf{m}^{k+1} = [J(\mathbf{m}^k)^T \ J(\mathbf{m}^k) + \beta^2 L^T L]^{-1} J(\mathbf{m}^k)^T \hat{\mathbf{d}}(\mathbf{m}^k) \quad (15)$$

بنابراین با داشتن یک مدل آغاز گر (starting model) می توانیم به مدل هایی بررسیم که برای آنها تفاوت بین داده های مشاهده شده و محاسبه شده کمتر و باز هم کمتر می شود تا به بهترین مدل بررسیم. مقدار عدم برازش (misfit) هم به صورت زیر تعریف می شود:

$$\chi^2 = \frac{1}{N} \sum_{i=1}^N \left(\frac{d_i - F_i}{S_i} \right)^2 \quad (16)$$

که S_i عدم قطعیت یا انحراف معیار در در داده d_i است. اگر خطاهای (عدم قطعیت در داده ها) به صورت گاوی و مستقل باشند، مقدار χ^2 برابر ۱ خواهد بود.

۴ محاسبه ماتریس حساسیت یا ژاکوبی
روش های معکوسی که با خطی کردن توابع غیرخطی صورت می گیرند، به برآورد ماتریس ژاکوبی وابسته اند. این ماتریس ژاکوبی تغییرات در مدل را به تغییرات در داده ها وابسته می کند و بنابراین عامل مهمی در مسئله معکوس است. برای محاسبه، باید مشتق مدل پیشرو را نسبت به پارامترهای مجھول مدل محاسبه کنیم. چون مجھول رسانایی است پس مشتقات را نسبت به این پارامتر محاسبه می کنیم. تنها جمله در مدل پیشرو وابسته به رسانایی $R_o(\lambda)$ است، پس مشتقات $R_o(\lambda)$ را نسبت به پارامترهای σ محاسبه می کنیم:

بالاتر را حذف می کنیم:

$$F_i(\mathbf{m}^k + \Delta \mathbf{m}) = F_i(\mathbf{m}^k) + J_{ij} \Delta \mathbf{m} \quad (10)$$

که J_{ij} را ماتریس حساسیت (sensitivity) یا ژاکوبی مشتق جزیی نامیده و به صورت زیر تعریف می شود:

$$J_{ij} = \frac{\partial F_i}{\partial m_j} \quad i = 1, 2, \dots N, j = 1, 2, \dots M$$

$$J = \begin{bmatrix} \frac{\partial F_1}{\partial m_1} & \dots & \frac{\partial F_1}{\partial m_N} \\ \dots & \dots & \dots \\ \frac{\partial F_M}{\partial m_1} & \dots & \frac{\partial F_M}{\partial m_N} \end{bmatrix} \quad (11)$$

پس می توان نوشت:

$$\Delta d_i = F_i(\mathbf{m}^k + \Delta \mathbf{m}) - F_i(\mathbf{m}^k) = J_{ij} \Delta \mathbf{m} \quad (12)$$

در اینجا Δd_i بردار اختلاف بین داده های اندازه گیری شده و پاسخ مدل و $\Delta \mathbf{m}$ بردار مجھولی است که باید حل شود و شامل تفاوت های بین مدل به دست آمده جدید و مدل اولیه در شروع محاسبات است. حال λ آمین تکرار با بردار پارامترهای مدل \mathbf{m}^k را در نظر بگیرید. بردار پارامترهای مدل جدید به صورت $\mathbf{m}^{k+1} = \mathbf{m}^k + \Delta \mathbf{m}$ خواهد بود. پس تابع هدف خطی شده ما به صورت زیر در می آید:

$$\Phi_{k+1} = \left\| \mathbf{d}^{obs} - \mathbf{F}(\mathbf{m}^k) - J(\mathbf{m}^k) \Delta \mathbf{m} \right\|^2 + \beta^2 \left\| L(\mathbf{m}^k + \Delta \mathbf{m}) \right\|^2 \quad (13)$$

حال اگر قرار دهیم
 $\hat{\mathbf{d}}(\mathbf{m}^k) = \mathbf{d}^{obs} - \mathbf{F}(\mathbf{m}^k) + J(\mathbf{m}^k) \mathbf{m}^k$ ، تابع هدف ما این گونه خواهد شد:

و لایه آخر یک نیم فضای در نظر گرفته شده است. مقدار ارتفاع برابر ۳۰ متر و مقدار ۷ برابر ۸ متر انتخاب شده‌اند که مقادیر معمولی برای برداشت‌های الکترومغناطیسی هوابرد حوزه بسامد هستند. در اینجا از فرمول‌بندی هم صفحه افقی استفاده شده و تعداد بسامدها هم ۵ است (۰/۴، ۰/۱، ۰/۱۰، ۰/۱۰۵ و ۰/۳۰۰ کیلو هرتز). به این خاطر که هریک از بسامدها عمق به خصوصی را مورد کاوش قرار می‌دهند، از محدوده بسامدی بزرگ استفاده شده است که تا عمق موردنظر نفوذ داشته باشیم. در همه مدل‌ها، مدل آغازگر، نیم فضایی با رسانایی ۰/۰۰۱ مoho بر متر است. بیشینه تعداد تکرارها هم برابر ۱۰ انتخاب شده است.

در شکل ۳-الف مدلی دولایه انتخاب شده که لایه اول رسانایی ۰/۰۱ مoho بر متر دارد و لایه دوم هم نیم فضایی با رسانایی ۰/۰۵ مoho بر متر است. همان‌طور که دیده می‌شود، لایه اول بسیار خوب بازسازی شده، لایه دوم هم به خوبی تشخیص داده شده و رسانایی به دست آمده نزدیک به واقعیت است. مقدار عدم برازش به دست آمده برای این مدل ۱/۲۷۲۱ است. شکل ۳-ب نیز مدلی دولایه است که این‌بار لایه اول، با رسانایی ۰/۰۵ مoho بر متر، رساناتر از لایه دوم و یک نیم فضایی ۰/۰۱ مoho بر متری است. با وجود اینکه مدل ما دارای نوسان‌هایی در لایه اول است اما مقدار این نوسان‌ها زیاد نیست و می‌توان گفت که رسانایی لایه اول به خوبی به دست آمده است. در مورد لایه دوم، هرچند وجود این لایه و داشتن مقدار رسانایی کم تشخیص داده شده اما رسانایی کمتری برای آن برآورد شده است. مقدار عدم برازش هم ۱/۳۹ است. شکل ۴ مدل‌های سه‌لایه را نشان می‌دهد. در شکل ۴-الف لایه وسطی رساناتر است ولی در شکل ۴-ب لایه وسطی رسانایی کمتری دارد. همان‌طور که مشاهده می‌شود مدل‌های به دست آمده از معکوس‌سازی به مدل ما بسیار نزدیک است. مقادیر عدم برازش هم برای شکل‌های ۴-الف و ۴-ب) به ترتیب ۱/۲۵۷ و ۱/۴۳ است.

$$\frac{\partial R_0(\lambda)}{\partial \sigma_l} = \frac{-\frac{\partial Y_1}{\partial \sigma_l}(N_0 + Y_1) - \frac{\partial Y_1}{\partial \sigma_l}(N_0 - Y_1)}{(N_0 + Y_1)^2} = \frac{-2N_0}{(N_0 + Y_1)^2} \frac{\partial Y_1}{\partial \sigma_l} \quad (17)$$

که σ_l رسانایی در لایه l است. همچنین می‌توان با استفاده از قاعده مشتقات زنجیری و با استفاده از روابط (۳) نوشت:

$$\frac{\partial Y_1}{\partial \sigma_l} = \frac{\partial Y_1}{\partial Y_2} \frac{\partial Y_2}{\partial Y_3} \dots \frac{\partial Y_{l-1}}{\partial Y_l} \frac{\partial Y_l}{\partial \sigma_l} \quad (18)$$

و با استفاده از رابطه بازگشتی $Y_l = N_l \frac{Y_{l+1} + N_l \tanh(u_l h_l)}{N_l + Y_{l+1} \tanh(u_l h_l)}$ می‌توان نوشت:

$$\frac{\partial Y_l}{\partial Y_{l+1}} = \frac{N_l^2 [1 - \tanh^2(u_l h_l)]}{[N_l + Y_{l+1} \tanh(u_l h_l)]^2} \quad (19)$$

و مشتق Y_l نسبت به پارامتر σ_l در لایه l را هم می‌توان محاسبه کرد. در نهایت با جایگزین کردن روابط به دست

$$\frac{\partial R_0(\lambda)}{\partial \sigma_l} \text{ را محاسبه می‌کنیم.}$$

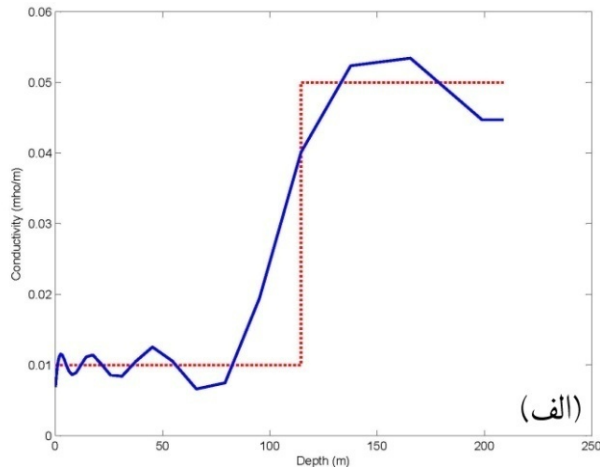
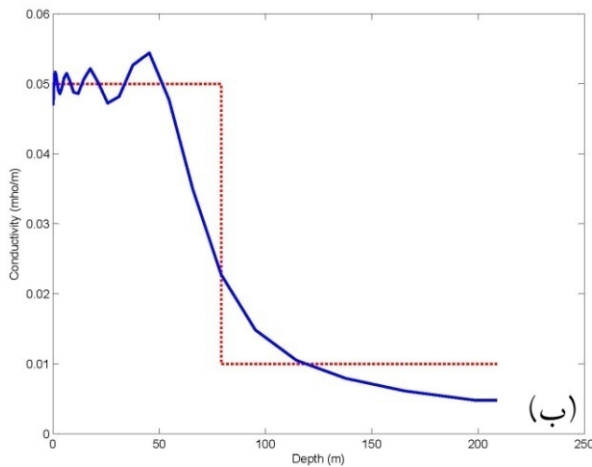
۵ بررسی درستی محاسبه‌ها

در این بخش برای بررسی کارایی روش معکوس‌سازی اُکام، آن را روی داده‌های حاصل از مدل‌های مصنوعی متفاوت اعمال می‌کنیم و نتیجه را توضیح می‌دهیم. برای این کار مدلی در نظر می‌گیریم و پاسخ الکترومغناطیسی آن را محاسبه می‌کنیم. سپس به این داده‌ها یک نوفه تصادفی گاوسی با میانگین صفر و واریانس ۰/۱ اضافه می‌کنیم.

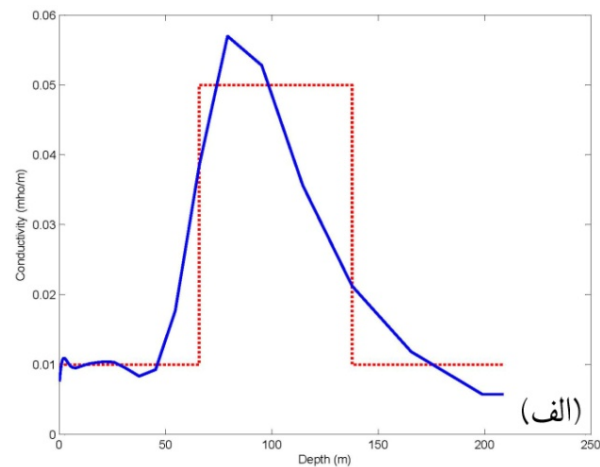
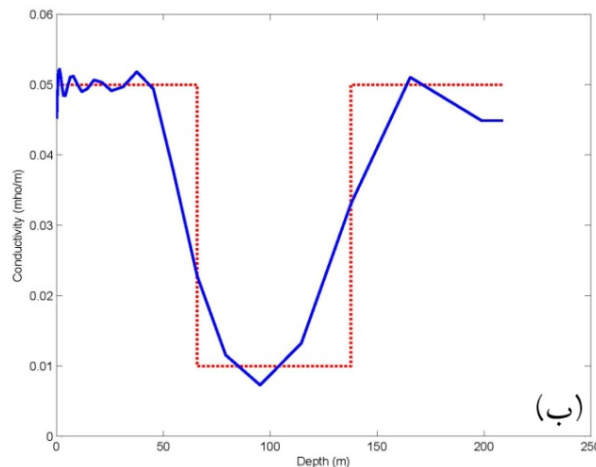
مدلی که با استفاده از آن عمل معکوس‌سازی صورت می‌گیرد یک مدل ۳۰ لایه تا عمق ۲۰۰ متری است که ضخامت لایه‌ها با افزایش عمق به طور نمایی اضافه می‌شود

مدل‌های بازسازی شده برآورده بسیار خوبی از مدل‌های ما هستند. با صرف نظر از نوسان‌هایی که در لایه اول داریم می‌توان گفت که مدل به دست آمده از معکوس‌سازی، نه فقط وجود لایه‌ها با رسانایی‌های متفاوت را تشخیص داده، بلکه مقدار رسانایی هر لایه و محل آن را هم به خوبی برآورد کرده است. مقادیر عدم برآش هم برای شکل‌های ۵-الف و ۵-ب به ترتیب $1/38$ و $1/16$ است.

حال مدل خود را پیچیده‌تر می‌کنیم. یک مدل پنج لایه در نظر می‌گیریم که رسانایی لایه‌ها به ترتیب کم و زیاد می‌شود. در شکل ۵-الف رسانایی لایه‌های اول، سوم و پنجم، که یک نیم فضا است، 0.005 موهو بر متر و رسانایی لایه‌های دوم و چهارم 0.01 موهو بر متر است. رسانایی در شکل ۵-ب بر عکس شکل ۵-الف است. همچنان‌که از این شکل‌ها پیدا است،



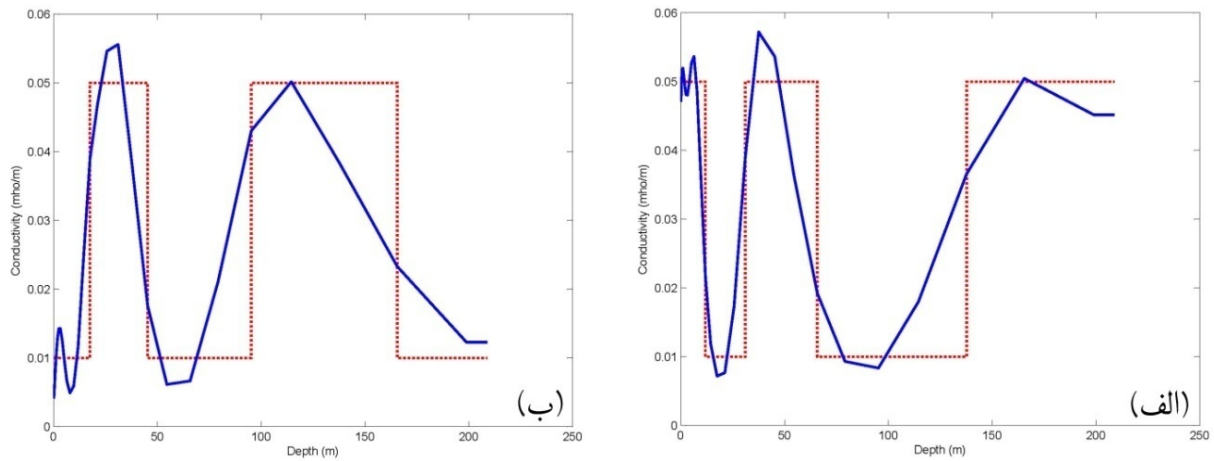
شکل ۳. نتایج معکوس‌سازی برای یک مدل دولایه. در (الف) لایه اول و در (ب) لایه دوم رساناتر است. نقطه‌چین مدل اولیه و خط توپر نتیجه حاصل از معکوس‌سازی را نشان می‌دهد.



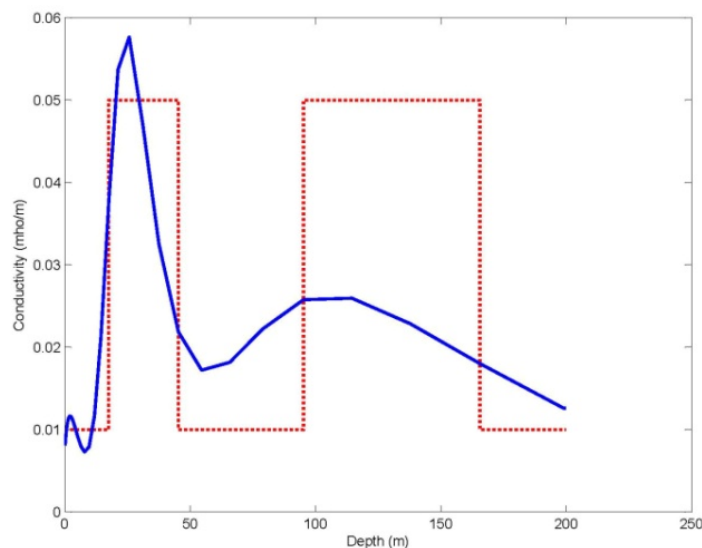
شکل ۴. نتایج معکوس‌سازی برای یک مدل سه‌لایه. در (الف) لایه وسط مقاوم‌تر و در (ب) لایه سطح رساناتر است. نقطه‌چین مدل اولیه و خط توپر مدل بازسازی شده حاصل از معکوس‌سازی را نشان می‌دهد.

بسامدهای مورد استفاده است. مقدار عدم برازش برابر با $1/85$ نشان می‌دهد که داده‌های حاصل از این مدل به خوبی برازش شده‌اند اما اینکه چرا مدل به خوبی بازسازی نشده است به عمق نفوذ امواج الکترومغناطیسی در این مدل بر می‌گردد. در حقیقت می‌توان گفت که این بسامدها نتوانسته‌اند به خوبی عمق بیشتر را مورد کاوش قرار دهند.

شکل ۶، شکلی با مدل شکل ۵-ب است اما مدل به دست آمده از معکوس‌سازی مدلی است که با استفاده از داده‌های سه بسامد $40/0$ ، 56 و 10 کیلوهرتز به دست آمده است. در مقایسه با شکل ۵-ب، مشاهده می‌کنیم که وجود پنج لایه مشخص شده، اما فقط رسانایی لایه‌های اول و دوم نزدیک به واقعیت برآورده است. دلیل این برآورد نادرست رسانایی‌ها، به طور واضح، تعداد



شکل ۵. نتایج معکوس‌سازی برای یک مدل پنج لایه. در (الف) لایه‌های اول، سوم و پنجم اما در (ب) لایه‌های دوم و چهارم رساناتر هستند. نقطه‌چین مدل اولیه و خط توپر مدل بازسازی شده حاصل از معکوس‌سازی را نشان می‌دهد.



شکل ۶. مدل اولیه مشابه شکل (۵-ب) است که نتایج حاصل از معکوس‌سازی با داده‌های حاصل از سه بسامد به دست آمده‌اند. نقطه‌چین مدل اولیه و خط توپر مدل بازسازی شده حاصل از معکوس‌سازی را نشان می‌دهند.

داشتن اطلاعات الکترومغناطیسی کمتر در عمق‌های بیشتر است. اما در سطح، نتایج حاصل از معکوس‌سازی‌ها به واقعیت نزدیک هستند.

در مسائل معکوس، بهتر است که یک مدل اولیه داشته باشیم که پاسخ ما درنهایت به آن نزدیک شود. اما در اینجا بدون اینکه یک مدل اولیه داشته باشیم (یعنی اطلاعات قبلی از ضخامت لایه‌ها یا رسانایی در عمق‌های متفاوت) توانسته‌ایم ساختار رسانایی را به خوبی برآورد کنیم. کسب این مهم با افزایش دادن تعداد لایه‌ها صورت گرفته است؛ با این حال درجه کم تعیین شدگی و زمان اجرای برنامه بیشتر شده است. از طرف دیگر نتایج به دست آمده به مدل آغازگر بستگی ندارند، یعنی شروع فرایند تکراری با هرچیز که باشد نتیجه یکسانی به دست می‌دهد و این از مزایای روش اُکام است.

منابع

- Constable, S. C., Parker, R. L. and Constable, C. G., 1987, Occam's inversion: A practical algorithm for generating smooth models from electromagnetic sounding data, *Geophysics*, **52**, 289–300.
- Farquharson, C. G., Oldenburg, D. W. and Routh, P. S., 2003, Simultaneous 1D inversion of loop-loop electromagnetic data for magnetic susceptibility and electrical conductivity, *Geophysics*, **68**, 1857–1869.
- Farquharson, C. G. and Oldenburg, D. W., 1993, Inversion of time domain electromagnetic data for a horizontally layered earth, *Geophys. J. Internat.*, **114**, 433–442.
- Fraser, D. C., 1978, Resistivity mapping with an airborne multicoil electromagnetic system, *Geophysics*, **43**, 144–172.
- Frischknecht, F. C., 1967, Fields about an oscillating magnetic dipole over a two-layer earth and application to ground and airborne electromagnetic surveys, *Quarterly of the Colorado School of Mines*, 62, No. 1.
- Fullagar, P. K. and Oldenburg, D. W., 1984, Inversion of horizontal loop electromagnetic frequency sounding, *Geophysics*, **49**, 150–164.
- Glenn, W. E., Ryu, J., Ward, S. H., Peeples, W. J. and Phillipps, R. J., 1973, The inversion of

۶ بحث و نتیجه‌گیری

به طور کلی روش اُکام به دلیل اینکه مربع اختلاف داده‌های به دست آمده و مربع نُرم مدل را کمینه می‌کند، قادر به بازسازی مرز شکستگی‌ها نیست؛ به این معنی که حتی اگر تعداد تکرارها بسیار زیاد و تعداد داده‌ها هم به اندازه کافی زیاد باشد، هیچ‌گاه این مرزها بازسازی نخواهد شد. از طرفی در این مقاله، تعداد داده‌ها بسیار کمتر از تعداد پارامترهای مدل است. بنابراین علاوه بر اینکه مرز شکستگی‌ها خوب مشخص نمی‌شود، تعداد جواب‌های زیادی هم به دست می‌آید، یعنی با مسئله یکتا نبودن پاسخ روبرو هستیم. اما در اینجا سعی کرده‌ایم با استفاده از کمینه کردن هم‌زمان اختلاف داده‌ها و نیز ساختار مدل، تا حد زیادی مسئله یکتا نبودن جواب را حل کنیم. همه شکل‌های به دست آمده نشان می‌دهد که پارامترهای به دست آمده به ساختار واقعی بسیار نزدیک‌اند، و این نشان می‌دهد که روش اُکام بسیار خوب عمل می‌کند.

مسئله دیگر این است که روش‌های الکترومغناطیسی به وجود رسانا حساس هستند و معمولاً در پیدا کردن لایه‌های با رسانایی کمتر در زیر لایه‌های با رسانایی بیشتر دچار مشکل می‌شوند. اما در اینجا دیده شد که چنین لایه‌هایی هم به خوبی تعیین محل شده‌اند و مقدار رسانایی آنها هم برآورد شده است. نتایج به دست آمده از روش اُکام نشان می‌دهد که این روش حتی برای مدل‌های پیچیده مثل شکل ۵، که یک توالی از لایه‌های رسانا و مقاوم را نشان می‌دهد، به خوبی کار می‌کند و پاسخ‌های نزدیک به واقعیت به دست می‌دهد.

مقایسه شکل‌های ۵-ب و ۶ هم نتیجه دیگری را به دست می‌دهد. در شکل ۵-ب تعداد بسامدّها پنج و در شکل (۶)، سه است. اختلاف نتیجه به دست آمده به دو عامل بستگی دارد. اول اینکه درجه کم تعیین شدگی دستگاه معادلات ما با سه بسامد نسبت به پنج بسامد بیشتر شده است و دوم اینکه وجود تعداد بسامد کمتر به معنی

- vertical magnetic dipole sounding data, *Geophysics*, **38**, 1109–1129.
- Huang, H. and Fraser, D. C., 2001, Mapping of the resistivity, susceptibility, and permittivity of the earth using a helicopter-borne electromagnetic system, *Geophysics*, **66**, 148–157.
- Huang, H. and Fraser, D. C., 2003, Inversion of helicopter electromagnetic data to a magnetic conductive layered earth, *Geophysics*, **68**(4), 1211-1223.
- Oldenburg, D. W., 1994, Practical strategies for the solution of large scale electromagnetic inverse problems, *Radio Science*, **26**, 1081–1099.
- Wait, J. R., 1951, The magnetic dipole over the horizontally stratified earth, *Canadian Journal of Physics*, **29**, 577-592.
- Wait, J. R., 1982, *Geo-Electromagnetism*, Academic press.
- Ward, S. H., 1967, Electromagnetic theory for geophysical applications, in Ward, S. H., Ed., *Mining geophysics, 2, Theory*, Soc. Expl. Geophys., 13–196.
- Zhang, Z., Routh, P. S., Oldenburg, D. W., Alumbaugh, D. L. and Newman, G. A., 2000, Reconstruction of 1-D conductivity from dual-loop EM data, *Geophysics*, **65**(2), 492–501.